

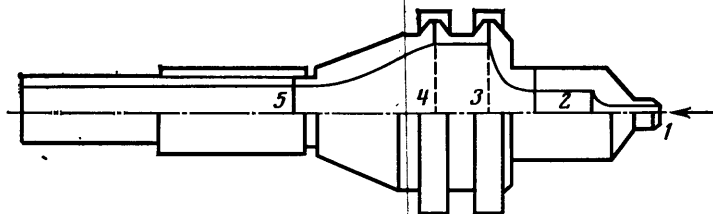
УДК 532.526.3:532.542.3

## О ПЕРЕХОДЕ К ТУРБУЛЕНТНОСТИ НА НАЧАЛЬНОМ УЧАСТКЕ КРУГЛОЙ ТРУБЫ

КОЛЯДА В. В., ПАВЕЛЬЕВ А. А.

Все имеющиеся в настоящее время данные говорят о том, что переход к турбулентности в круглой трубе происходит в пределах ее начального участка. Об этом же свидетельствуют и выводы линейной теории гидродинамической устойчивости, согласно которым профили скорости на начальном участке трубы неустойчивы [1]. Однако до сих пор мало исследовано течение на этом участке при различных значениях уровня начальных возмущений  $\varepsilon_0$  на входе в трубу и различном отношении длины трубы  $l$  к ее диаметру  $d$ .

В данной работе исследовался переход к турбулентности в пограничном слое на начальном участке круглой трубы при различном отношении толщины слоя к радиусу трубы и различных уровнях начальной турбулентности. Точка перехода к



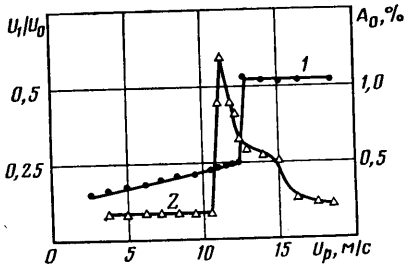
Фиг. 1

турбулентности в пограничном слое находилась экспериментальным путем, так как в настоящее время нет надежных способов ее расчета. В частности, не решена проблема восприимчивости, т. е. проблема начальной амплитуды волн Толлмина — Шлихтинга, результатом развития которой является переход к турбулентности. Можно предположить, что начальная амплитуда этой волны определяется взаимодействием более высокочастотных волн на участке, предшествующем зоне ее роста [2]. Кроме того, не существует единой точки зрения на механизм перехода к турбулентности при  $\varepsilon_0 > 0,5\%$ . Результаты же расчета перехода при  $\varepsilon_0 > 0,5\%$  на основе трехпараметрической модели турбулентности [3] требуют экспериментальной проверки.

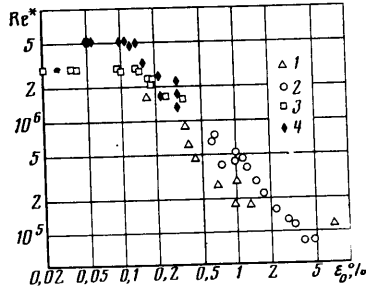
1. Эксперименты проводились на аэrodинамической трубе, схема которой приведена на фиг. 1. Через входное сечение 1 ( $\varnothing = 20$  мм) поступал воздух от магистрали высокого давления. Возмущения гасились сопротивлением, установленным в сечении 2. Уровень пульсаций скорости задавался в эксперименте комбинацией сечений 3 и 4. Между ними труба имела внутренний диаметр 120 мм. Конструкция трубы позволяла перейти на длине в 29 см от потока в сечении 1 с пульсациями скорости в десяти процентах к равномерному по всему сечению 5 профилю скорости с уровнем пульсаций, сниженным до десятых долей процента. Неравномерность профиля скорости не превышала 3% скорости на оси потока. Поджатие потока между сечениями 4 и 5 происходило в конфузоре, спрофилированном по методу Витошинского. К сечению 5 пристыковывалась круглая труба внутренним диаметром 49 мм. В экспериментах изучался переход при переменной среднерасходной скорости  $U_p$  и трубах длиной 50 и 411 см ( $L=l/d=10$  и 84). Нарастание пограничного слоя на стенках конфузора давало эффективную добавку к длине труб около 16 см. С учетом этого  $L$  составляло 13,2 и 85,4. Конструкция аэродинамической трубы позволяла также нагнетать воздух вентилятором DISA 55D41/42, который пристыковывался непосредственно к сечению 2 ( $\varnothing = 40$  мм). При этом максимальная скорость в сечении 5 достигала 18 м/с при  $\varepsilon = 0,3\%$ , а потери на выравнивание потока не превосходили одного скопростного потока, рассчитанного по среднерасходной скорости в сечении 2.

Измерения параметров потока проводились с помощью термоанемометра постоянной температуры 55 М и аналоговой аппаратуры фирмы DISA. Использовался датчик 55E30 с термокомпенсацией, нить которого устанавливалась перпендикулярно к направлению течения. Под уровнем пульсаций всюду имеется в виду среднеквадратичная величина продольных пульсаций скорости, отнесенная к средней скорости на оси трубы.

Начало перехода к турбулентности на срезе трубы определялось из зависимостей отношения скорости  $U_1$ , измеренной в пограничном слое, к скорости  $U_0$  за его пределами от  $U_p$ . В точке начала перехода ламинарного пограничного слоя в турбулентный  $U_p^*$  эта зависимость меняет свой характер. Так, например, при измерении  $U_1$  во внутренней части слоя эта зависимость увеличивает в точке начала перехода темп своего роста [4].



Фиг. 2



Фиг. 3

На фиг. 2 (кривая 1) приведен пример такой зависимости, полученный в пограничном слое на срезе трубы длиной 50 см. Скорость  $U_0$  измерялась трубкой полного напора, скорость  $U_1$  — датчиком термоанемометра.

Было установлено, что в области перехода уровень пульсаций скорости на оси трубы  $A_0$  растет, достигая величины нескольких процентов, а при дальнейшем увеличении скорости снова падает (кривая 2 на фиг. 2). Этот эффект, по-видимому, связан с тем, что при увеличении  $U_p$  точка начала перехода к турбулентности в пограничном слое продвигается к началу трубы, пульсируя вблизи каждого своего нового положения. При этом пульсирует и толщина пограничного слоя на срезе трубы, а условие постоянства расхода приводит к пульсациям скорости на оси. Таким образом, переход в пограничном слое на стенке трубы приводит к пульсациям скорости за его пределами и, в частности, на оси трубы.

2. В случае трубы длиной 50 см пограничный слой не ее стенках был тонок по сравнению с радиусом трубы  $r$ . Так, при  $U_p=35$  м/с толщина вытеснения  $\delta^*$  равна 0,9 мм ( $\delta^*/r=0,037$ ). Ускорение потока характеризуется параметром Польгаузена

$$\lambda_\theta = \frac{\theta^2}{v} \frac{dU_0}{dx} \quad (2.1)$$

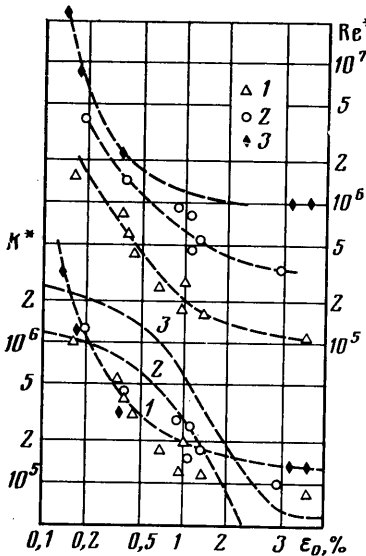
где  $\theta$  — толщина потери импульса,  $v$  — кинематическая вязкость,  $x$  — продольная координата. Форма профиля скорости в пограничном слое на срезе трубы длиной 50 см и величина  $\delta^*$  совпадали с соответствующими характеристиками для слоя у поверхности плоской пластины во всем диапазоне  $U_p$  от 3 до 35 м/с. Поэтому из соотношений (2.2) и условия постоянства расхода (2.3) можно найти зависимость  $\lambda_\theta(x)$  и определить его среднее по длине  $l$  значение  $\langle \lambda_\theta \rangle$

$$\delta^*(x) = 1,73 \sqrt{\frac{vx}{U_0}}, \quad \theta(x) = 0,664 \sqrt{\frac{vx}{U_0}} \quad (2.2)$$

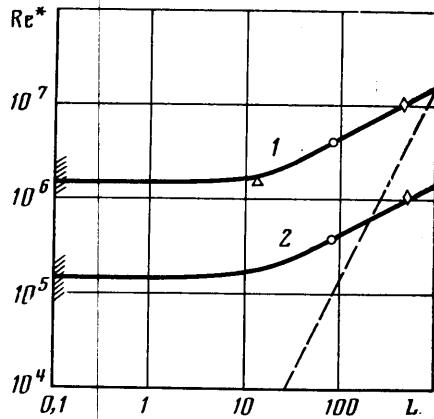
$$U_0(x) [r - \delta^*(x)]^2 = U_p r^2 \quad (2.3)$$

$$\langle \lambda_e \rangle = \frac{1}{l} \int_0^l \lambda_e(x) dx \quad (2.4)$$

При  $U_p=35$  м/с и  $l=50$  см величина  $\langle \lambda_e \rangle$  равна  $9,25 \cdot 10^{-3}$ . Согласно эмпирическим соотношениям [4], при найденном  $\langle \lambda_e \rangle$  и  $\varepsilon_0=0,18\%$ , число Рейнольдса перехода  $Re^*=U_p * l / \nu$  увеличивается за счет ускорения потока на 3,5 %. Таким образом, полученные на этой трубе данные можно непосредственно сравнить с известными фактами по переходу в пограничном слое у поверхности плоской пластины без градиента скорости. На фиг. 3 эти данные представлены в виде зависимости  $Re^*$  от величины  $\varepsilon_0$ , измеренной в сечении 5 (точки 1). Здесь же представлены данные из работ



Фиг. 4



Фиг. 5

[4–6] (точки 2–4 соответственно). При  $\varepsilon_0 < 0,1\%$  значение  $Re^*$  определяется не только величиной  $\varepsilon_0$ , но и уровнем акустических шумов и вибраций, неоднородностями поверхности и т. д., характеризующими качество конкретной экспериментальной установки. В данной работе исследовались пограничные слои при  $\varepsilon_0 > 0,1\%$ . В пределах разброса экспериментальных данных полученные результаты близки к известным. Максимальное число  $Re^*$  составляло  $1,6 \cdot 10^6$  при уровне начальных возмущений  $\varepsilon_0=0,18\%$ .

Отметим, что при том же  $\varepsilon_0$  на трубе длиной 411 см  $\delta^*/r=0,1$ , а переход наступает при  $Re^*=5 \cdot 10^6$ , одной из причин этого является ускорение потока за счет нарастания пограничных слоев на стенке. На фиг. 4 приведены зависимости  $Re^*$  от  $\varepsilon_0$  для труб длиной 50 см (точки 1) и 411 см (точки 2). Здесь же приведены данные из [7] для  $L=505$  (точки 3). В [7] величина  $\varepsilon_0$  также измерялась после поджатия потока в конфузоре, на расстоянии 15 калибров ниже входа в трубу. Видно, что ускорение потока за счет нарастания пограничных слоев по длине трубы приводит к увеличению  $Re^*$  с ростом  $L$ .

Зависимости  $Re^*(\varepsilon_0, \lambda_e)$ , полученные в [4], не могут быть применены к течению в трубе, так как в последнем случае ускорение потока переменно по длине ( $\lambda_e \neq \text{const}$ ), а приближенный расчет по формулам (2.1) – (2.4) может быть проделан лишь при  $\delta^*/r \ll 1$ , когда пограничный слой мало отличается от слоя у поверхности плоской пластины. Для определения  $Re^*$  предлагается одно из двух выражений, аппроксимирующих приведенные

## экспериментальные данные

$$K^* = \frac{U_p^*}{v} \left\{ l \operatorname{th} \sqrt{\frac{10}{L}} + d \left( 1 - \operatorname{th} \sqrt{\frac{10}{L}} \right)^2 \right\} \quad (2.5)$$

$$K^* = \operatorname{Re}^* \left\{ \operatorname{th} \sqrt{\frac{10}{L}} + \frac{1}{L} \left( 1 - \operatorname{th} \sqrt{\frac{10}{L}} \right)^2 \right\} \quad (2.6)$$

где  $\operatorname{th}$  — гиперболический тангенс. Зависимость числа  $K^*$  начала перехода к турбулентности в пограничном слое на стенке круглой трубы от  $\varepsilon_0$  приведена на фиг. 4. В пределах разброса экспериментальных данных и в диапазоне длин труб  $13 < L < 505$  эта зависимость единным образом описывает переход на начальном участке круглой трубы. Разброс полученных в эксперименте и имеющихся в литературе данных может быть следствием того, что точка начала перехода определяется кроме интегральной интенсивности возмущений  $\varepsilon_0$  также их спектральным составом, учет которого позволит сделать определение точки перехода более точным.

В пределе при  $L \rightarrow 0$  реализуется случай безградиентного течения у поверхности плоской пластины и параметр  $K^*$  переходит в число  $\operatorname{Re}^*$ . Максимальное значение  $L$  определяется длиной начального участка трубы. В случае  $L \gg 1$  параметр  $K^*$  принимает вид

$$K_1^* = \frac{K^*}{\sqrt{10}} = \frac{\operatorname{Re}^*}{\sqrt{L}} \quad (2.7)$$

Использование зависимостей  $K^*(\varepsilon_0)$  и  $K_1^*(\varepsilon_0)$  может оказаться полезным для оценки положения точки начала перехода к турбулентности на начальном участке круглой трубы. При этом удобно воспользоваться эмпирической зависимостью

$$K^* = a \varepsilon_0^{b(1+1/\varepsilon_0)}, \quad a = 2 \cdot 10^3, \quad b = -0,176 \quad (2.8)$$

где  $a$  и  $b$  — константы, определенные из эксперимента,  $\varepsilon_0$  выражено в процентах. Зависимость (2.8) приведена на фиг. 4 (кривая 1). Здесь же приведены известные эмпирические зависимости для плоской пластины без градиента скорости из работ [6] (кривая 2) и [4] (кривая 3).

На фиг. 5 представлено число Рейнольдса начала перехода к турбулентности в пограничном слое на стенке круглой трубы в зависимости от величины  $L$  при  $\varepsilon_0 = \text{const}$  и, следовательно,  $K^* = \text{const}$ . Штриховкой на оси  $\operatorname{Re}^*$  показаны области экспериментальных значений этого параметра для плоской пластины при  $\varepsilon_0 = 0,18\%$  (кривая 1) и 5% (кривая 2). Вплоть до  $L \approx 10$  ускорение потока практически не влияет на величину  $\operatorname{Re}^*$ . Дальнейшее увеличение  $L$  приводит к росту числа  $\operatorname{Re}^*$ , который при  $L \gg 1$  происходит по закону  $\operatorname{Re}^* \sim \sqrt{L}$ . Длина начального участка  $L_i$  определяется из соотношения  $L_i^2 / \operatorname{Re} = 0,0625$  (по данным Никурадзе, приведенным в [8]). В данной работе рассматривается переход в пограничном слое на стенке трубы, т. е. в области, ограниченной прямой  $\operatorname{Re} = 16L_i^2$  на фиг. 5. Экспериментальные значения  $\operatorname{Re}^*$ , полученные при  $\varepsilon_0 = 0,18$  и 5%, на трубах указанной выше длины, приведены на фиг. 5 в тех же символах, что и на фиг. 4.

Таким образом, предложенные зависимости  $K^*(\varepsilon_0)$  и  $K_1^*(\varepsilon_0)$  позволяют в диапазоне уровней начальных возмущений  $0,1\% < \varepsilon_0 < 10\%$  определить условия начала перехода к турбулентности в пограничном слое на всем протяжении начального участка круглой трубы.

## ЛИТЕРАТУРА

1. Huang L. M., Chen T. S. Stability of developing pipe flow subjected to non-axisymmetric disturbances. — J. Fluid Mech., 1974, v. 63, № 1, p. 183–193.
2. Якубенко А. Е., Лущик В. Г., Павельев А. А. Исследование сдвиговых течений в каналах и пограничных слоях с использованием трехпараметрической модели турбулентности. — Отчет Ин-та механики МГУ, 1981, № 2553. 106 с.

3. Лущик В. Г., Павельев А. А., Якубенко А. Е. Исследование перехода к турбулентности в пограничном слое при большой интенсивности внешних возмущений с помощью трехпараметрической модели. – В кн.: Проблемы современной механики. Ч. 1. М.: Изд-во МГУ, 1983, с. 127–138.
4. Abu-Ghannam B. J., Shaw R. Natural transition of boundary layers – the effects of turbulence, pressure gradient and flow history. – J. Mech. Eng. Sci., 1980, v. 22, № 5, p. 243–288.
5. Schubauer G. B., Skramstad H. K. Laminar-boundary-layer oscillations and transition on a flat plate. – NACA Rep., 1948, № 909. 31 р.
6. Уэллс. Влияние турбулентности набегающего потока на переход в пограничном слое. – Ракетная техника и космонавтика, 1967, т. 5, № 1, с. 219–221.
7. Wygnanski I. J., Champagne F. H. On transition in a pipe. Pt 1. The origin of puffs and slugs and the flow in a turbulent slug. – J. Fluid Mech., 1973, v. 59, № 2, p. 281–335.
8. Шихтинг Г. Теория пограничного слоя. М.: Наука, 1969. 742 с.

Москва

Поступила в редакцию  
2.VIII.1984.